

# 磁 放 大 器



國防·軍品出版社

73-115573

八五二

# 磁 放 大 器

第一机械工业部研究所编



國防工業出版社

在各种自动控制和远距离操纵系統中磁放大器是一个重要的元件。与其他类型放大器比較，磁放大器具有体积小重量輕，寿命長和放大系数高等許多优点，因此能获得广泛应用。

本書中收集了近两年苏联杂志上發表的有关磁放大器的論文 6 篇。文章論述了各种型式磁放大器的特性、綫路和減少放大器尺寸、重量的設計参数的計算方法，对于設計輕型磁放大器有很大参考价值。

本書适合于动力、电器部門的研究人員、工程技术人员閱讀，也可做高等学校的教学参考材料。

第一机械工业部四〇研究所編

## 磁 放 大 器

第一机械工业部四〇研究所 編

\*

國防工業出版社出版

北京市書刊出版业营业許可証出字第 074 号  
机械工业出版社印刷厂印刷 新华书店發行

\*

787×1092 精  $1/32$  · 印張 3  $5/16$  · 69,000 字

一九五八年九月第一版

一九五八年九月第一次印刷

印数：0,001—4,000 冊 定价：(10) 0.55 元

NO.2204

## 目 录

一 带阻抗負荷的扼流圈式磁放大器的計算	4
二 推挽式功率磁放大器的計算	28
三 反饋磁放大器的計算	50
四 帶直流輸出的推挽式磁放大器	62
五 磁調制式磁場強度傳感器的計算	79
六 磁放大器及“二次諧波”型磁調制式測磁器原理 上的某些問題	95
有关磁放大器及磁性元件方面的書刊目录	105

# — 帶阻抗負荷的扼流圈式 磁放大器的計算

H. П. 瓦西里也娃, O. A. 謝德哈

本文論述扼流圈式磁放大器的計算方法，以便在磁放大器的尺寸或重量为最小的条件下，用这个方法求得放大器的全部参数。

計算的原始数据是在最大信号下負荷的最大功率、負荷的 $\cos\varphi$ 、电流的倍数与放大系数。

引出放大器鋼的單位体积与最大感磁磁場强度 的关系曲綫。

我們知道，在給定的最大負荷功率下，[1-6] 不能用簡單的計算方法求出放大器鋼的最小体积，以及整个放大器的最小体积或重量。

本文是为了推导一种扼流圈式磁放大器的計算方法，其目的是求当放大器的重量、尺寸或价值为最小时放大器的全部参数。

計算的原始数据是在最大信号下，負荷的最大功率、負荷的 $\cos\varphi$ 、电流倍数与放大系数。

計算按磁放大器的两个極限工作状态进行：沒有信号的条件与信号为最大的条件。

假設在这两种工作状态下，放大器的电流与电压是近于正弦的。这是这种計算方法的基本假設。并且这种假設用于磁放大器的極限工作状态比用于中間工作状态要正确得多（例如：計算磁放大器特性采用負荷椭圓圖时[6]）。

本文中的第二种假設就是將放大器中的損耗忽略不計。

在推导計算式时采用下列符号:  $U_{\sim}$ —电源电压(伏),  $Z_n = R_n + jX_n$ —負荷阻抗(欧),  $P_i = I^2 Z_n$ —負荷的最大視在功率(伏安);  $B_0$ —沒有感磁时扼流圈鐵心的磁感应强度(高斯)(振幅值),  $H_0$ —沒有感磁时的磁场强度(安/公分)(振幅值),  $I_0$ —沒有感磁时的电流(安)(有效值),  $U_0$ —沒有感磁时的扼流圈綫卷的电压(伏)(有效值);  $B_k$ —在最大感磁信号下鐵心的磁感应强度(高斯)(振幅值),  $H_k$ —在最大感磁信号下的磁场强度(安/公分)(振幅值),  $I_k$ —在最大感磁信号下的电流(安)(有效值),  $U_k$ —在最大感磁信号下的扼流圈綫卷的电压(伏)(有效值);  $k = I_k/I_0$ —負荷中电流倍数,  $W_{\sim}$ —每个扼流圈交流綫卷的匝数,  $S_{cm}$ —鐵心的截面积(公分<sup>2</sup>),  $l_{cm}$ —磁导体的平均長度(公分),  $S_0$ —鐵心窗的截面积,  $l_w$ —綫卷一个綫匝的平均長度(公分),  $W_y$ —主控綫卷的匝数。

本計算适用于扼流圈綫卷 $W_{\sim}$ 的串联綫路(圖1)。

### 1. 求扼流圈鐵心鋼的体积

当圖1所示綫路中电压与电流作正弦变化时, 可以写成下列方程:

a) 没有信号时

$$U_{\sim}^2 = (U_0 + I_0 X_n)^2 + I_0^2 R^2, \quad (1)$$

b) 信号最大时

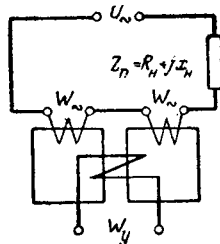


圖 1

$$U_{\infty}^2 = (U_k + I_k X_n)^2 + I_k^2 R_n^2 \quad (2)$$

扼流圈线圈的有效电阻暂略去不计。

由于  $I_k = I_0 k$ , 并将方程 (1) 与 (2) 相减, 则

$$U_0^2 - U_k^2 + 2X_n I_k \left( \frac{U_0}{k} - U_k \right) + I_k^2 (X_n^2 + R_n^2) \\ \left( \frac{1}{k^2} - 1 \right) = 0. \quad (3)$$

由于

$$U = 4.44 f 2 W_{\infty} S_{cm} B 10^{-8},$$

则 (3) 式可改写成

$$S_{cm}^2 + \frac{2I_k X_n \left( \frac{B_0}{k} - B_k \right)}{8.88 f W_{\infty} (B_0^2 - B_k^2) 10^{-8}} S_{cm} + \\ \frac{I_k^2 (X_n^2 + R_n^2) \left( \frac{1}{k^2} - 1 \right)}{(8.88 f W_{\infty} 10^{-8})^2 (B_0^2 - B_k^2)} = 0. \quad (4)$$

从这个方程可以求出扼流圈铁心的截面积:

$$S_{cm} = \frac{I_k X_n \left( B_k - \frac{B_0}{k} \right) \pm I_k \sqrt{X_n^2 \left( \frac{B_0}{k} - B_k \right)^2 + Z_n^2}}{8.88 f W_{\infty} (B_0^2 - B_k^2) 10^{-8}} \\ \frac{\left( 1 - \frac{1}{k^2} \right) (B_0^2 - B_k^2)}{} \quad (5)$$

根式前面的负号要去掉, 因为  $S_{cm}$  不可能小于零。

从方程  $H_k l_{cm} = \sqrt{2} I_k W_{\infty}$  中求出  $l_{cm}$  值, 并将其乘以方程 (5)。因此即得出扼流圈一个铁心的钢的体积  $V_{cm} = S_{cm} l_{cm}$ :

$$V_{cm} = \frac{\sqrt{2} I_k^2 \left[ X_n \left( B_k - \frac{B_0}{k} \right) + \sqrt{X_n^2 \left( B_k - \frac{B_0}{k} \right)^2 + Z_n^2} \right]}{8.88 f H_k (B_0^2 - B_k^2) 10^{-8}} \\ + \frac{Z_n^2 \left( 1 - \frac{1}{k^2} \right) (B_0^2 - B_k^2)}{}.$$

由于負荷的視在功率  $P_i = I^2 Z_n$  与  $X_n/Z_n = \sin \varphi$ , 所以最后得出:

$$V_{cm} = \frac{1.6 \times 10^7 P_i \left[ \sin \varphi \left( B_K - \frac{B_0}{k} \right) + \sqrt{\left( B_K - \frac{B_0}{k} \right)^2} \right]}{f H_K (B_0^2 - B_K^2)} \\ \frac{\sin^2 \varphi + \left( 1 - \frac{1}{k^2} \right) (B_0^2 + B_K^2)}{ } \quad (6)$$

如果負荷是純電阻, 則 (6) 式即可大大化簡:

$$V_{cm} = \frac{1.6 \times 10^7 P \sqrt{1 - \frac{1}{k^2}}}{f H_K \sqrt{B_0^2 - B_K^2}} \quad (7)$$

若是純感抗負荷則

$$V_{cm} = \frac{1.6 \times 10^7 P_i \left( 1 - \frac{1}{k} \right)}{f H_K (B_0 - B_K)} \circ$$

當  $k \gg 1$  時 (6) 与 (7) 式可以稍稍化簡, 因為  $\frac{1}{k^2}$  項與 1 比起來可以略去不計。

那麼當  $k \gg 1$  時, 對於阻抗負荷得出

$$V_{cm} = \frac{1.6 \times 10^7 P_i \left[ \sin \varphi \left( B_K - \frac{B_0}{k} \right) + \sqrt{\sin^2 \varphi \left( B_K - \frac{B_0}{k} \right)^2} \right]}{f H_K (B_0^2 - B_K^2)} \\ \frac{+ (B_0^2 - B_K^2)}{ } \quad (6')$$

同時相應的對於純電阻負荷則為

$$V_{cm} = \frac{1.6 \times 10^7 P}{f H_K \sqrt{(B_0^2 - B_K^2)}} \quad (7')$$

當  $k = 4$  時, 由於略去  $\frac{1}{k^2}$  項而產生的誤差不超過 3%。

(6) 与 (7) 式表明, 鐵心的鋼的體積與負荷的功率成正比, 與電源頻率和交變磁場強度成反比, 但是此時與決定於選定的交變磁場強度和必需的負荷電流倍數的  $B_K$  和  $B_0$

的比值有关。

下面将可看出，磁放大器最佳参数的选择问题是与交变磁场和稳定磁场强度的选择紧密相关的。

铁心的钢的体积，可以借助于铁心材料的特性曲线族  $B_\infty = \Phi(H_\infty H_y)$ （图2）按公式（6）或（7）求出。铁心的钢的体积按材料特性曲线族的两条曲线计算：当  $H_y = 0$  时按主磁化曲线计算，当  $H_y = H_{y,\max}$  时按曲线  $B_\infty = \Phi(H_\infty)$  计算。在曲线  $B_\infty = \Phi(H_\infty)$  上给出一工作点（例如：图2中的点A，那里  $H_{y,\max} = 4$  安/公分），求该点上的  $H_k$  与  $B_k$ ，然后求等于  $H_k/k$  的  $H_0$ ，并按主磁化曲线求  $B_0$  的相应值。求出  $H_k$ 、 $B_k$  与  $B_0$ ，再按公式（6）或（7）求铁心体积。对曲线  $B_\infty = \Phi(H_\infty, H_{y,\max})$  上其它数点也如此作图，然后作出铁心体积与  $B_0$  数值（或  $H_k$  或  $H_0$ ），因为它们是相连系

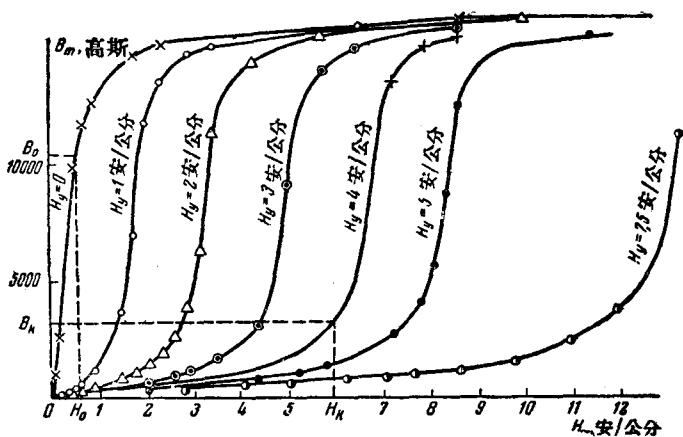


圖 2

●  $H_{y,\max}$  ——  $H_{y\text{最大}}$ 。——譯者

的) 的关系曲綫。这个用曲綫表示的鐵心体积的关系, 在  $B_0$  ( $H_0$  与  $H_\kappa$ ) 的某一值下是最小的。

鋼的單位体积关系曲綫  $V_{cm}/P_i = F_1(B_0)$  [或  $F_2(H_0)$  或  $F_3(H_\kappa)$ ], 当  $H_y = \text{常数}$  时可以按最大感磁磁场强度  $H_{y,max}$  的各个值作出, 其形状如圖 3 所示。对于不同的負荷电流倍数, 关系曲綫  $V_{cm}/P_i = F_1(B_0, H_y)$  将是不同的。鋼的單位体积随电流倍数的增大而增大。因此, 在給定的負荷电流倍数与給定的負荷  $\cos \varphi$  下, 鋼的單位体积与选定的  $B_0$  (或  $H_0$  或  $H_\kappa$ ) 和  $H_y$  有关, 并且在某一  $B_0$  值为最小, 这时  $H_y = \text{常数}$ 。

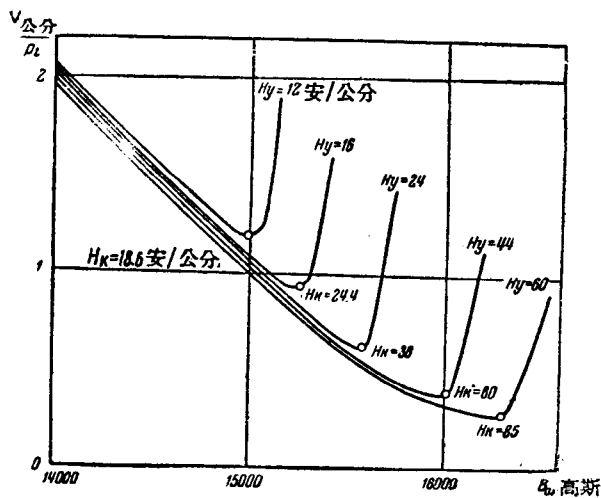


圖 3

如果借助于某一函数取曲綫族  $B_\sim = \Phi(H_\sim, H_y)$  的近似值, 則按公式 (6) 与 (7) 将可用解析法求出这个最小值。

鐵心体积依  $H_y$  的量而單調地改变, 随  $H_y$  的增大而减小。

必須指出特性綫族  $V_{cm}/p_i = F(B_0, H_y)$  的下列性質很重要。这是在一系列計算中發現的。

对于某种磁性材料來講，如电流倍数与  $\cos \varphi_n$  已給定，并当  $B_0$  和  $H_k$  改变而  $H_y = \text{常数}$ ，鐵心体积每項均达到其最小值。这时对該种材料來講， $H_k/H_y$  的比值实际上不变而几乎与  $H_y$  的量无关。上述比值以  $n_{onm}$  来表示。

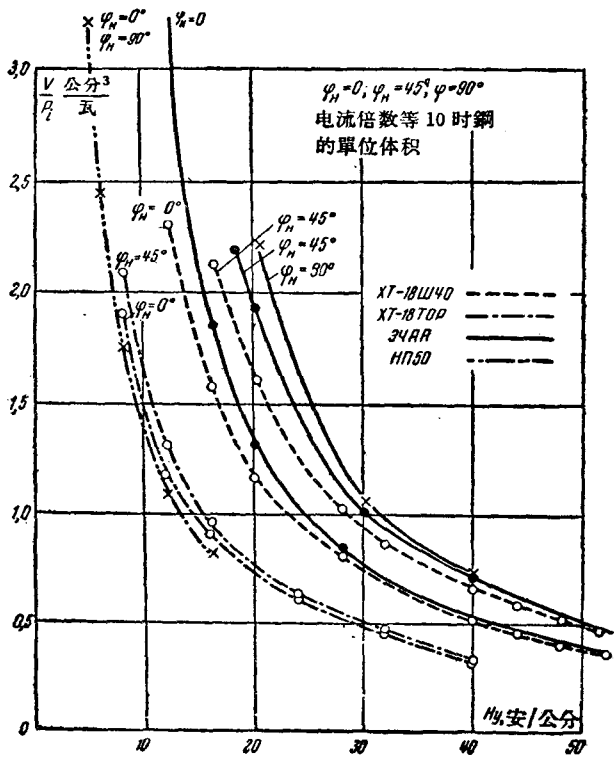


圖 4

●  $n_{onm}$ —最佳的比值。——譯者

对 ЭЧАА, XT-18 与 H 50 材料来講, 当  $k = 10$  时  $n_{onm} \approx 1.4$  (見附录 II)。

严格說來, 对于給定的电流倍数,  $n_{onm}$  并不是常数。但是, 在工作磁场强度为 10-15 安/公分时, 在实际計算中这个量可以被視作常数。

这样最好是每种磁性材料在最佳值  $n_{onm}$  的条件下按不同电流倍数与  $\cos \varphi_n$  来作曲綫圖  $V_{cm}/P_i = \Psi(H_y)$ 。作圖时可利用公式 (6) 与 (7), 将两式中的  $H_k$  值換以  $n_{onm} H_y$ 。

鋼的單位体积与  $H_y$  的关系非常近似于双曲綫。

在  $n_{onm}$  的条件下, 有效負荷电流倍数为 5 与  $10 \cdot \Psi = 90^\circ$

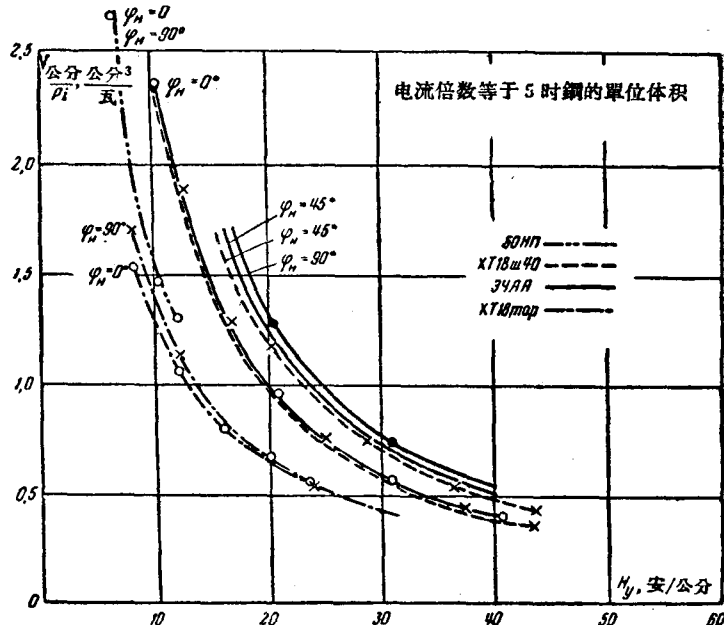


圖 5

与  $\Phi_n = 45^\circ$  时, ЭЧАА、XT-18 与 H 50 材料的关系曲线图  
 $V_{cm}/P_i = \Phi(H_y)$  如图 4 与图 5 所示。

图 6 所示是这些材料的主要磁化曲线。

在讲述求铁心体积一节结束之际应该指出, 磁放大器的计算, 有时要依据放大器负荷与放大器线圈内阻抗在最大信号下的匹配条件, 如在参考文献[1]中的例子。

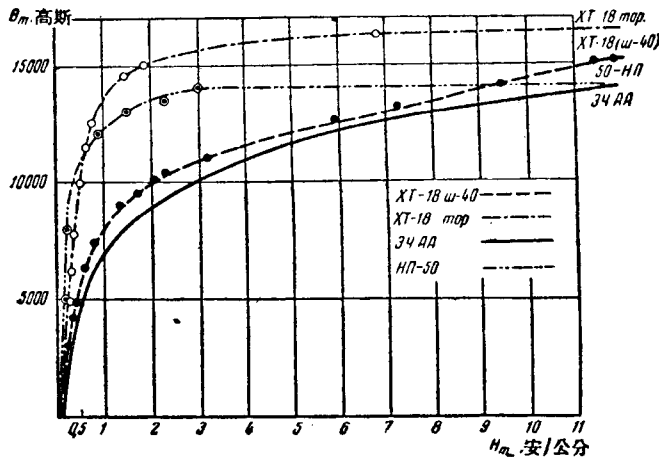


图 6

但是可以指出, 按不同  $H_y$  值得出钢的最小体积, 就提供了选择负荷与放大器电阻间的不同比值的条件。此时,  $Z_n$  与  $X_{gp}$  之间的最佳比值依量  $H_y$  与铁心材料而改变。

现在就讲一下这问题。扼流圈线圈的感抗  $X_{gp}$  可按下式得出:

$$X_{gp} = 2 \times 2\pi f \mu \frac{0.4\pi W^2 S_{cm}}{l_{cm}} 10^{-8}$$

● 从图 4 中 HΠ50 曲线所得出的钢的体积可以乘以 1.256。

由于

$$S_{cm} = \frac{V_{cm}}{l_{cm}}, \text{ 而 } l_{cm} = \frac{\sqrt{2} I_k W_\infty}{H_k}$$

同时  $\mu = \frac{B_k}{0.4\pi H_k}$ , 得出

$$X_{gp} = 2\pi f V_{cm} \frac{H_k B_k}{f_k^2} 10^{-8} \text{ 欧姆。} \quad (8)$$

为了简便起见，现在来分析负载是纯电阻时的情况。这时将(7)式代入(8)式则得：

$$X_{gp} = R_n \frac{B_k}{\sqrt{B_0^2 - B_k^2}} \quad (9)$$

或

$$\frac{X_{gp}}{R_n} = \frac{B_k}{\sqrt{B_0^2 - B_k^2}} \circ \quad (10)$$

在相应于铁心重量最小的放大器的最佳工作状态下，得出的比值与铁心的材料和选定的  $H_y$  值有关。例如，在主控磁场强度  $H_y = 20$  安/公分时，对 H 50 合金

$$\frac{X_{gp}}{R_n} \text{ 最佳} = 0.4 \circ$$

在  $H_y = 20$  安/公分时，对 ЭЧАА 合金

$$\frac{X_{gp}}{R_n} \text{ 最佳} = 0.72 \circ$$

在  $H_y = 23.6$  安/公分时，对 XT-18 合金

$$\frac{X_{gp}}{R_n} \text{ 最佳} = 0.61 \circ$$

从这些例子中可以看出，负载的匹配条件以磁放大器的计算为基础是不正确的。

## 2. 决定感磁磁场强度

上面讲过，铁心体积随着感磁磁场强度的增大接近于双

曲線的規律而減小。

因此，選擇  $H_y$  的值就要尽可能大些。但是  $H_y$  的致放大系数的減小。

現在，按  $H_y$  来求鐵心的控制功率值  $P_y$ 。

我們知道

$$P_y = I_y^2 R_y,$$

此处

$$R_y = \rho \frac{l_{wy} W_y}{S_{ny}},$$

式中  $S_{ny} = \frac{S_{oy} k_s}{W_y}$ 。那么

$$P_y = \rho \frac{l_{wy} W_y^2 / k_s}{S_{oy} k_s},$$

式中  $S_{oy}$ ——控制綫卷所占的鐵心窗的面積， $l_{wy}$ ——控制綫卷一个綫匝的平均長度， $k_s$ ——填充系数。

由于

$$W_y I_y = H_y l_{cm},$$

所以得出

$$P_y = \rho \frac{H_y^2 l_{cm}^2 l_{wy}}{k_s S_{oy}}. \quad (11)$$

此式还不能用来分析，因为  $l_{cm}$ 、 $l_{wy}$  与  $S_{oy}$  值随鋼的体积而变，同时鋼的体积又随  $H_y$  而变。

为了搞清这些关系，就把問題轉到扼流圈式磁放大器的鐵心結構方面来。

現在来分析由山型片叠成的放大器鐵心。

山型片的立体圖如圖 7 所示。圖中也同样表示出綫卷在由双鐵心組成的磁放大器中的位置。

这种結構的鐵心可以写出下列的关系：

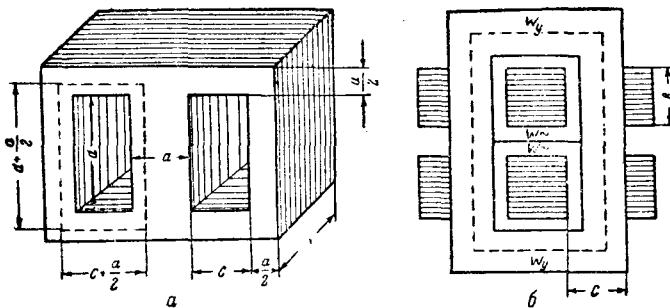


圖 7

$$l_{cm} = 2(a + c + d), \quad (12)$$

$$S_{cm} = ab, \quad (13)$$

$$S_0 = cd = S_{oy} + S_{o\sim}, \quad (14)$$

$$b = \frac{V}{l_{cm} a}. \quad (15)$$

如果交流綫卷与感磁綫卷所占的鐵心窗面积間的比为

$$\frac{S_{o\sim}}{S_{oy}} = \beta, \quad (16)$$

則

$$S_{o\sim} = \beta \cdot \frac{S_0}{1 + \beta}, \quad (17)$$

$$S_{oy} = \frac{S_0}{1 + \beta}, \quad (18)$$

$$l_{W\sim} = 2(a + b + \frac{2c\beta}{1 + \beta}), \quad (19)$$

$$l_{Wy} = 2(a + 2b + \frac{2c(3\beta + 1)}{1 + \beta}). \quad (20)$$

除了这些純結構上的关系外，在計算磁放大器时再可以利用放大器交流綫卷的溫升条件，这个条件可以用来計算綫卷  $W\sim$  所需鐵心窗的最小面积。

这个条件可以用下式表示：

$$S_{o \sim k_s} = \frac{I_k W \sim}{\Delta}$$

或

$$S_{o \sim k_s} = \frac{H_k l_{cm}}{\sqrt{2 \Delta}}, \quad (21)$$

式中  $\Delta$ ——最大的允許电流密度 (安/公分<sup>2</sup>)。

那么, 再轉回來求控制功率, 將方程 (14) 与 (21) 的  $S_{oy}$  值代入方程 (11):

$$P_y = \frac{H_y^2 l_{cm}^2 W_y \Delta \rho \sqrt{2}}{\sqrt{2} S_0 \Delta k_s - H_k l_{cm}}. \quad (22)$$

从方程(14)、(16)与(21)中求出  $\beta = \left( \frac{S_0 \sqrt{2} \Delta k_s}{H_k l_{cm}} - 1 \right)^{-1}$ ,

将此值代入方程 (20), 同时利用方程 (15), 那么

$$l_{W_y} = 2 \left[ a + \frac{2 V_{cm}}{a l_{cm}} + 2 c \left( \frac{2 H_k l_{cm}}{\sqrt{2} \Delta k_s S_0} + 1 \right) \right]. \quad (23)$$

由于放大器的工作状态必需在值  $n_{onm}$  下選擇, 所以方程 (22) 与 (23) 中的  $H_k$  值代之以  $n_{onm} H_y$  值; 这时加以代換, 同时将 (23) 式代入 (22) 式, 最后得出

$$\begin{aligned} P_y = & \frac{2 \sqrt{2} \rho \Delta H_y^2 l_{cm}^2}{\Delta \sqrt{2} k_s S_0 - n_{onm} H_y l_{cm}} \left[ a + \frac{2 V_{cm}}{a l_{cm}} \right. \\ & \left. + 2 c \left( \frac{\sqrt{2} n_{onm} H_y l_{cm}}{\Delta k_s S_0} + 1 \right) \right]. \end{aligned} \quad (24)$$

此式完全表示出在一定的鐵心叠片尺寸下控制功率与控制磁場間的关系。

为了利用此式計算放大器, 必須作一  $k_y = \frac{P_u}{P_y}$  与  $H_y$  的关系曲綫圖, 在作圖时要考慮到鐵心的  $V_{cm}$  随  $H_y$  的改变而改变。鐵心的  $V_{cm}$  值可以从圖 4 与 5 所示的曲綫圖中求出, 或从与其类似的圖中依材料、电流倍数与  $\cos \varphi_u$  而求出。如果放大系数已給定, 求出的感磁磁場强度的可能最大值是單